

清水建設研究所 正員 萩原 遼弘

1. まえがき

海中に設置された構造物が地震動を受けて運動する場合、構造物周囲の水の影響を考慮に入れた取扱いをする必要がある。この影響はいわゆる付加質量効果であり、これは流体中で運動する物体はその加速度に比例する抵抗を周囲の流体から受けけることに基づく見かけ上の効果であって、水平運動に対しては付加質量が、回転運動に対しては付加慣性モーメントが評価される。従来から、このような研究は船舶流体力学の分野で数多く行なわれてきたが、その主眼が海洋波浪に対する応答解析等に置かれていたために、地震時の流体力に直接適用できるものは比較的少ない。本研究は、海中貯油タンクのように任意形状を有する海洋構造物の地震時の流体力について、グリーン関数法により無次元量としての付加質量係数、付加慣性モーメント係数および動水圧係数を求め、若干の考察を加えたものである。

2. グリーン関数による解法²⁾

図-1のようすに座標系を選び、代表長 \bar{a} の任意形状の海中構造物が軸方向に速度 U 、軸回転方向に角速度 W で微小振幅運動をする場合を考える。速度ポテンシャルを各運動成分の和として $\Psi(\bar{\mathbf{x}}:t) = \sum_{i=1}^6 \bar{w}_i(t) \phi_i(\bar{\mathbf{x}})$ ($\bar{w}_i(t) = U_i(t) \bar{a}$, $\bar{w}_{i+3}(t) = W_i(t) \bar{a}^2$, $i=1, 2, 3$) で表わせば、 Ψ はラプラスの方程式を満足し、 Ψ に関する境界条件は次のようになり。

$$\left. \begin{aligned} \frac{\partial \Psi}{\partial \bar{x}_2} &= 0 \quad (\text{海底面}), \quad \frac{\partial \Psi}{\partial \bar{x}_2} + \frac{1}{\bar{n}} \cdot \frac{\partial \Psi}{\partial \bar{r}} &= 0 \quad (\text{自由表面}) \\ \frac{\partial \Psi}{\partial \bar{n}} &= \nabla \cdot \bar{n} \quad (\text{物体表面}) \end{aligned} \right\} \quad \dots \dots \dots \quad (1)$$

ここに、 $\nabla = \bar{U} + \bar{W} \times \bar{r}$, \bar{r} は位置ベクトル, \bar{n} は物体表面の外向単位法線ベ

クトルであり。こうした境界値問題はグリーン関数をもつて解くことができ、source strength function を $f(\bar{s})$ とすれば、速度ポテンシャル $\phi(\bar{\mathbf{x}})$ は次のように表わされる。

$$\phi(\bar{\mathbf{x}}) = \frac{1}{4\pi} \iint_S f(\bar{s}) G(\bar{\mathbf{x}}: \bar{s}) dS \quad \dots \dots \dots \quad (2) \quad \text{ここに}, G(\bar{\mathbf{x}}: \bar{s}) \text{はグリーン関数}, \bar{s} \text{は物体表面上の点}$$

$$\bar{x} = \bar{s}/\bar{a}, \quad dS = d\bar{s}/\bar{a}^2$$

グリーン関数の表示として、Garrison は次の無元級数形を導いている。即ち、自由表面の境界条件が $\phi(\bar{\mathbf{x}}) = 0$ で表わされる場合

$$G(\bar{\mathbf{x}}: \bar{s}) = \frac{1}{R} - \frac{1}{R_1} + \sum_{n=1}^{\infty} \left\{ (-1)^n \left(\frac{1}{R_{2n}} + \frac{1}{R_{4n}} \right) + (-1)^{n+1} \left(\frac{1}{R_{3n}} + \frac{1}{R_{5n}} \right) \right\} \quad \dots \dots \dots \quad (3)$$

自由表面の境界条件が $\frac{\partial \phi(\bar{\mathbf{x}})}{\partial \bar{x}_2} = 0$ で表わされる場合

$$G(\bar{\mathbf{x}}: \bar{s}) = \frac{1}{R} + \frac{1}{R_1} + \sum_{n=1}^{\infty} \left(\frac{1}{R_{2n}} + \frac{1}{R_{3n}} + \frac{1}{R_{4n}} + \frac{1}{R_{5n}} \right) \quad \dots \dots \dots \quad (4)$$

ここに、 $R = \sqrt{(X_1 - \xi_1)^2 + (X_2 - \xi_2)^2}$, $R_1 = \sqrt{n^2 + (X_2 - \xi_2)^2}$, $R_{2n} = \sqrt{n^2 + (X_2 + 2nh - \xi_2)^2}$, $R_{3n} = \sqrt{n^2 + (X_2 + 2nh + \xi_2)^2}$, $R_{4n} = \sqrt{n^2 + (X_2 + 2nh - \xi_2)^2}$, $R_{5n} = \sqrt{n^2 + (X_2 - 2nh + \xi_2)^2}$, $h = \bar{h}/\bar{a}$

また $f(\bar{s})$ は式(2)を物体表面の境界条件式に代入して得られる積分方程式を解くことにより求めることができる。速度ポテンシャル $\Psi(\bar{\mathbf{x}}:t)$ が計算できれば、 i モードの物体運動するときの動水圧 P_i 、流体力ベクトル \mathbf{F}_i 、モーメントベクトル \mathbf{M}_i は次のように求まる。

$$P_i = -\rho \frac{\partial \Psi(\bar{\mathbf{x}}:t)}{\partial \bar{x}_i} = -\rho \bar{w}_i(t) \phi_i(\bar{\mathbf{x}}), \quad \mathbf{F}_i = -\bar{a}^2 \iint_S P_i \bar{n} dS, \quad \mathbf{M}_i = -\bar{a}^3 \iint_S P_i (\bar{r} \times \bar{n}) dS \quad \dots \dots \dots \quad (5)$$

ここに、 $i = 1, 2, \dots, 6$

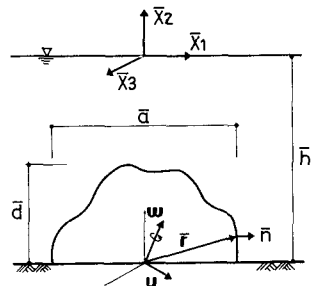


図-1 座標系

3. 計算結果と考察

図-2は円筒タンクの付加質量係数とタンク底版回りの付加慣性モーメント係数を自由表面境界条件の相違すなわち free surface を表わす式(3)および rigid boundary を表わす式(4)を用いて計算したものである。タンクが完没していない場合すなわち $\bar{d}/\bar{h} = 1.0$ の値は Garrison & Berklite の計算値をプロットした。図より明らかのように貯油タンクが海中に完没している場合、付加質量係数は式(3)および式(4)の計算値ともタンク直徑が大きくなつて形状が扁平になら程、小さくなつて傾向を示している。またタンクの完没程度を表わす \bar{d}/\bar{h} による相違は \bar{d}/\bar{h} の小さい範囲で表われてくる。一方、タンク底版回りの付加慣性モーメント係数はタンクの扁平度が増すにつれ $\bar{d}/\bar{h} = 1.0$ 付近まで減少するが、それ以後は逆に増加する傾向を示している。またタンクの完没程度による相違はほとんど表われていない。

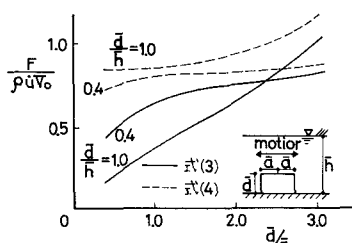


図-2(a) 付加質量係数(円筒タンク)

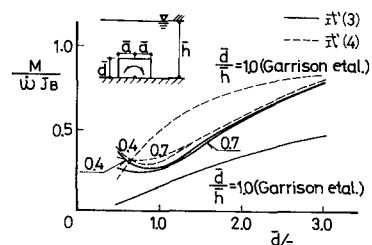


図-2(b) 付加慣性モーメント係数(円筒タンク)

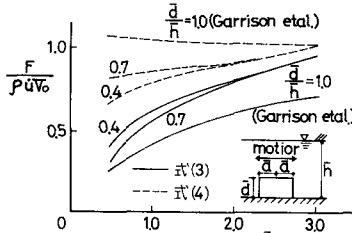


図-2(a) 付加質量係数(矩形タンク)

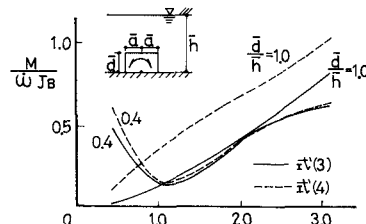


図-3(b) 付加慣性モーメント係数(矩形タンク)

図-3は矩形タンクの付加質量係数とタンク底版回りの付加慣性モーメント係数は同様2つの自由表面境界条件に対して計算したものであり。矩形タンクの付加質量係数および付加慣性モーメント係数は同様タンクの場合と類似の傾向を示している。図-4は完没した矩形タンクが水平運動および回転運動をする場合の動水圧係数の分布である。動水圧は断面設計用荷重として用いられるが、回転運動による動水圧は水平運動によるものに比較して、かなり小さい。また上田³⁾は完没しない複数の矩形貯油タンクが矩形格子状に等間隔で設置された場合について、3次元有限要素法を用いて付加質量係数、付加慣性モーメント係数および動水圧係数を計算し、矩形タンクが単独に海中に設置された場合と比較している。その結果、タンクの半辺の距離だけ離せばタンク相互の影響がなくなり単独に設置された場合と等しくなることを示している。タンクが完没している場合も動水圧分布から類似の傾向を示すものと思われる。一方海水は圧縮性を有するから、ある条件下では海中で振動する構造物にもその影響がおよぶものと考えられる。後藤⁴⁾は水中橋脚に対する影響を示している。貯油タンクが大水深地点に建設されると可能性を考えれば、この影響を考慮した解析が必要となろう。

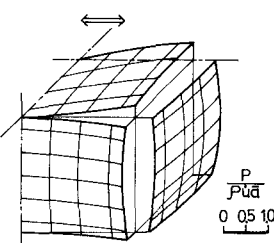


図-4(a) 動水圧係数の分布(水平運動)

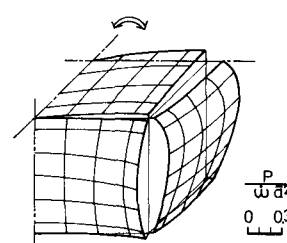


図-4(b) 動水圧係数の分布(回転運動)

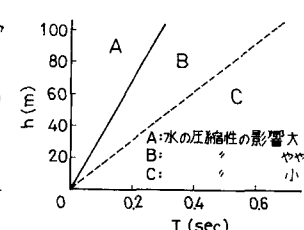


図-5 水の圧縮性の影響(後藤・土岐)

参考文献 1) 松浦義一：船体振動と付加質量、土木学会水工学に関する夏期研修会講義集、1973

2) C.J. Garrison, R.B. Berklite : Hydrodynamic Loads Induced By Earthquakes, O.T.C., 1972

3) 上田真徳他：海洋着底方式貯油タンクの地震時挙動に関する研究、建築学会学術講演梗概集、昭51

4) 後藤尚男、土岐憲三：水中橋脚の振動と耐震設計に関する基礎的研究、土木学会論文集100号、昭38